

УДК 532.547+621.928.93

## ХАРАКТЕР ДВИЖЕНИЯ ЧАСТИЦ ПЫЛИ В ПРЯМОТОЧНОМ ЦИКЛОНЕ С ПРОМЕЖУТОЧНЫМ ОТБОРОМ ПЫЛИ

В.С. Асламова, А.А. Асламов, Т.Н. Мусева

Ангарская государственная техническая академия  
E-mail: veras@pisem.net

*Решена задача движения частицы пыли в прямоточном циклоне с промежуточным отбором под действием центробежной и аэродинамической силы сопротивления газового потока. Получены траектории движения частиц пыли разного диаметра при различных точках входа в циклон и формулы для расчета минимального диаметра частиц, улавливаемых промежуточным и основным отбором пыли. Рассчитаны теоретические эффективности сепарации промежуточного отбора и циклона в целом, которые сопоставлены с экспериментальными значениями. Произведена оценка параметров фракционной эффективности согласно методике НИИОГАЗ.*

Закрученные двухфазные потоки нашли широкое применение в технических устройствах для интенсификации массообменных и сепарационных процессов (сушка дисперсных материалов, обеспыливание воздуха, энергоразделение в трубках Ранка и т. д.). Для конструирования новых и эффективного использования известных вихревых аппаратов необходимо совершенствовать методы расчета двухфазных закрученных потоков. В настоящее время отсутствует единое представление о правильном подходе к расчету движения частиц [1]. Модель, основанная на концепции «траекторных частиц», считается некорректной из-за отсутствия учета влияния рейнольдсовых напряжений на частицу. С другой стороны, неоспоримы преимущества лагранжева подхода, более близкого к реальным процессам и позволяющего получить необходимую информацию о траекториях частиц, времени нахождения частиц в аппарате, минимальном размере улавливаемых частиц [2–5].

Рассмотрим одномерное движение со скоростью  $V$  частицы пыли массой  $m$  в равномерном потоке газа, движущегося со скоростью  $W$ , описываемое дифференциальным уравнением:

$$\frac{dV}{dt} = \frac{F_a}{m} = \frac{6F_a}{\pi\rho_\delta\delta^3}, \quad (1)$$

где  $F_a$  — сила аэродинамического сопротивления, действующая на частицу со стороны газового потока,  $\delta$ ,  $\rho_\delta$  — эквивалентный диаметр и плотность частицы пыли.

Как правило, число Рейнольдса, вычисленное по диаметру частицы и параметрам газовой среды

( $\rho_g$ ,  $\mu_g$  — плотность и динамическая вязкость газа), невелико:  $Re_\delta = \frac{\delta W \rho_g}{\mu_g} \ll 100$ , поэтому можно

воспользоваться законом Стокса для записи  $F_a$  с поправкой на несферичность частицы:

$$F_a = 3\pi\mu_g\delta k_\delta(W - V), \quad (2)$$

где  $k_\delta$  — коэффициент формы, учитывающий несферичность частицы, равный  $k_\delta = 1/\Phi^2$ ;  $\Phi = \frac{F_c}{F}$  — фактор формы, равный отношению площади поверхности сферы, имеющей тот же объем, что и рассматриваемая частица с площадью поверхности  $F$  [6]. Следует заметить, что при числах  $Re_\delta \geq 100$  формула (2) будет давать заниженное значение силы аэродинамического сопротивления, однако в приближенном анализе это не имеет решающего значения, т. к. крупные частицы быстрее отсепарируются, чем мелкие.

После подстановки (2) в (1) получим дифференциальное уравнение вида:

$$\frac{dV}{dt} = \frac{18k_\delta\mu_g}{\rho_\delta\delta^2}(W - V). \quad (3)$$

Перейдем к безразмерным координатам, введя обозначения:

$$\bar{V} = \frac{V}{W}; \quad \bar{t} = \frac{t}{T}. \quad (4)$$

Под характерным промежутком времени  $T$  будем понимать отношение характерного размера  $L_0$  (расстояние от выходных кромок лопаточного за-

кручивателя до окон промежуточного отбора пыли) к скорости газового потока:  $T = \frac{L_0}{W}$ . После подстановки (4) в (3) получим:

$$\frac{d\bar{V}}{dt} = \beta(1 - \bar{V}), \quad (5)$$

где безразмерный комплекс

$$\beta = \frac{18k_\delta \mu_g L_0}{\rho_\delta \delta^2 W} = 18k_\delta \frac{L_0}{\delta} \frac{\rho_g}{\rho_\delta} \frac{1}{Re_\delta}. \quad (6)$$

После интегрирования получим:

$$1 - \bar{V} = (1 - \bar{V}_0)e^{-\beta \bar{t}}, \quad (7)$$

где  $\bar{V}_0$  – безразмерная начальная скорость частицы.

Для анализа (7) проведем оценку безразмерного комплекса  $\beta$ . В качестве примера возьмем следующие данные: пыль – KCl, имеет кубическую решетку, поэтому образует частицы формы, близкой к кубической [7]. Для куба фактор формы равен  $\Phi=0,806$  [6]. Тогда коэффициент формы  $k_\delta=1,54$ .  $W=9$  м/с,  $\delta=10$  мкм= $10^{-5}$  м,  $\mu=1,89 \cdot 10^{-5}$  Па·с,  $\rho_g=1,25$  кг/м<sup>3</sup>,  $\rho_\delta=2631$  кг/м<sup>3</sup> (по показаниям на автотопикометре 1320),  $L_0=0,276$  м. Получим  $Re_\delta=0,592$ ,  $\beta=61,070$ . Столь большое значение  $\beta$  означает, что безразмерная скорость частицы очень быстро стремится к единице, т. е. независимо от начальных условий скорость частицы  $V$  становится близкой к скорости потока  $W$ . Действительно, если принять  $\bar{t}=0,1$ , то

$$1 - \bar{V} = 0,0022(1 - \bar{V}_0) < 0,01.$$

Приведенный пример показывает, что в пылеуловителе окружную и осевую проекции скорости малых частиц можно принимать равными соответствующим проекциям скорости газа, и только радиальная скорость частиц, обусловленная центробежными силами, подлежит определению. При увеличении диаметра частиц величина  $\beta$  уменьшается пропорционально квадрату диаметра.

Анализ закрученного адиабатического газопылевого течения в прямоточном циклоне будем проводить при следующих допущениях:

1. В закручивателе закончился разгонный участок частицы, и она приобрела осевую  $V_z$  и окружную  $V_\phi$  проекции скорости, равные соответствующим проекциям скорости газового потока  $W_z$  и  $W_\phi$  соответственно. Данное допущение приводит к некоторым погрешностям расчета движения частиц диаметром более 5 мкм.
2. Окружная проекция скорости газа изменяется по закону  $W_\phi = \text{const} \sqrt{r}$ . Этот закон, наблюдаемый в экспериментах [8, 9], позволит получить простое решение, удобное для количественного анализа движения частиц.
3. Частица не меняет во времени свою форму и диаметр, не происходит ни ее дробления, ни коагуляции. Отклонение формы частицы от сферы учитывается коэффициентом  $k_\delta$ .

4. Обтекание частицы потоком газа носит вязкий характер. Турбулентные пульсации газа не учитываются, что согласуется с выводом работы [4]: турбулентная диффузия частиц в прямоточном циклоне не оказывает заметного влияния на процесс пылеулавливания.
5. Не учитываются силы Магнуса, Архимеда, Кориолиса, тяжести, присоединенной массы, поскольку указанные силы на несколько порядков меньше по сравнению с силами аэродинамического сопротивления и центробежной [9–13].
6. Пренебрегаем электростатическими, термофизическими и прочими силами негидродинамической природы.
7. Пренебрегаем неравномерным распределением осевой проекции скорости газа по радиусу, что находится в соответствии с данными работы [14], согласно которой осевая проекция скорости частиц слабо изменяется по радиусу трубы.

Подобная задача решена в работе [15] применительно к циклону со встречными закрученными потоками.

При принятых допущениях дифференциальное уравнение движения частицы в цилиндрических координатах примет вид:

$$\frac{dV_r}{dt} = \frac{V_\phi^2}{r} - \frac{18k_\delta \mu_g V_r}{\rho_\delta \delta^2}$$

или в безразмерном виде:

$$\frac{d\bar{V}_r}{d\bar{t}} = \frac{\bar{V}_\phi^2}{\bar{r}} - \beta \bar{V}_r, \quad (8)$$

где  $V_z = W_z$ ;  $\bar{V}_z = \frac{V_z}{W_z} = 1$ ;  $\bar{t} = \frac{t}{T}$ ;  $T = \frac{L_0}{W_z}$ ;

$$\bar{V}_r = \frac{V_r}{W_z}; \bar{V}_\phi = \frac{V_\phi}{W_z}; \bar{r} = \frac{r}{L_0}; \beta = \frac{18k_\delta \mu_g L_0}{\rho_\delta \delta^2 V_z}. \quad (9)$$

В рассматриваемом случае комплекс  $\beta$  (9) можно считать постоянным, так как согласно допущениям  $W_z = \text{const}$ . Уравнение (8) имеет аналитическое решение:

$$\bar{V}_r = e^{-\beta \bar{t}} \left( \bar{V}_{r0} + \int_0^{\bar{t}} e^{-\beta \bar{t}} \frac{\bar{V}_\phi^2}{\bar{r}} d\bar{t} \right),$$

где  $\bar{V}_{r0}$  – радиальная проекция скорости частицы в начальный момент времени  $\bar{t}=0$ .

Принятый закон изменения окружной скорости обеспечивает независимость отношения  $\frac{\bar{V}_\phi^2}{\bar{r}}$  от времени  $\bar{t}$ . Тогда интегрирование дает следующую зависимость:

$$\bar{V}_r = e^{-\beta \bar{t}} \left[ \bar{V}_{r0} + \frac{1}{\beta} \left( \frac{\bar{V}_\phi^2}{\bar{r}} \right)_{cp} (e^{-\beta \bar{t}} - 1) \right]. \quad (10)$$

Зная закон изменения  $\bar{V}_0$ , можно найти расстояние, пройденное частицей в радиальном направлении:

$$r - r_0 = \int_0^t V_r dt, \quad (11)$$

где  $r_0$  — начальный радиус входа частицы в сепарационную камеру циклона. Величина  $r_0$  может изменяться от радиуса  $r_1$  центральной внутренней вставки до радиуса  $r_2$  сепарационной камеры.

После подстановки  $\bar{r}_0 = r_0/L_0$ , формул для перехода к безразмерным переменным (9), зависимости (10) в (11) и после интегрирования получим:

$$\bar{r} = \bar{r}_0 + \frac{1}{\beta} \left[ -\bar{V}_{r0}(e^{-\beta \bar{t}} - 1) + \left( \frac{\bar{V}_\varphi^2}{\bar{r}} \right)_{cp} A(\beta, \bar{t}) \right], \quad (12)$$

где  $A(\beta, \bar{t}) = \bar{t} + \frac{1}{\beta}(e^{-\beta \bar{t}} - 1)$ .

Рассмотрим простейший случай, когда на выходе из лопаточного завихрителя проекции скорости потока  $\bar{W}_0$  и частицы  $\bar{V}_0$  ничтожно малы и могут не учитываться, т. е.  $\bar{W}_0 = \bar{V}_0 = 0$ . В этом случае для расчета траектории частицы следует использовать зависимость вида:

$$\bar{r} = \bar{r}_0 + \frac{1}{\beta} \left( \frac{\bar{V}_\varphi^2}{\bar{r}} \right)_{cp} A(\beta, \bar{t}). \quad (13)$$

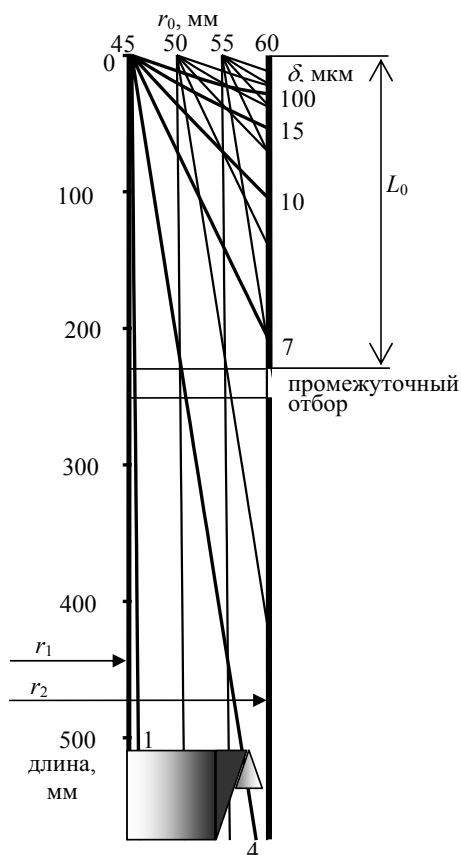


Рис. 1. Траектории движения частиц диаметром  $\delta$  с радиусом входа  $r_0$

На рис. 1 изображены траектории частиц различного диаметра при разных радиусах входа  $\bar{r}_0$  частиц в сепарационную камеру (с размерами  $r_1=0,045$  м и  $r_2=0,060$  м), рассчитанные для завихрителя с углом выхода потока на среднем радиусе

$\bar{r}_{cp} = \frac{r_1 + r_2}{2L_0} = 0,1902$  к плоскости, перпендикулярной оси аппарата, равным  $35^\circ$ . Из треугольника скоростей нетрудно определить

$$\bar{V}_\varphi = \frac{V_\varphi}{V_z} = \text{ctg} 35^\circ = 1,428; \quad \frac{\bar{V}_\varphi^2}{\bar{r}_{cp}} = 10,721.$$

Значения остальных параметров приведены выше.

Предполагая, что частица, достигнув стенки циклона, скользит по ней и отводится через окна промежуточного отбора и кольцевую щель второго отбора в изолированные бункера, построим зависимости минимального диаметра  $\delta_{\min}$  частиц, улавливаемых окнами промежуточного отбора (кривая 1, рис. 2), и циклона в целом (кривая 2, рис. 2) для различных радиусов  $\bar{r}_0$  входа частицы в циклон. Теоретически, все частицы, имеющие размер больше  $\delta_{\min}$ , должны осаждаться в циклоне, а размером  $\delta < \delta_{\min}$  — выносятся из циклона.

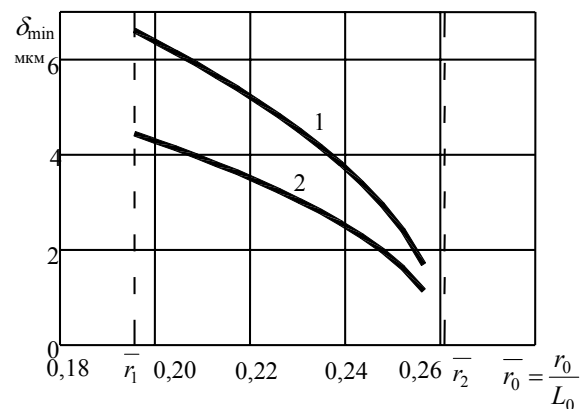


Рис. 2. Минимальный диаметр улавливаемой пыли  $\delta_{\min}$ : 1) промежуточным, 2) основным отборами в зависимости от радиуса входа  $\bar{r}_0$

В основу многочисленных методов расчета минимального (критического) диаметра частиц для циклонов различных типов также положено основное допущение, что для улавливания частица должна достичь стенки пылеуловителя за время пребывания в нем газового потока [9, 16, 17 и др.]. При этом не учитывается распределение запыленного потока по площади входного сечения, т. к. предполагается, что частица входит в сепарационное пространство по оси аппарата либо на его среднем радиусе. Полученные таким образом формулы для определения  $\delta_{\min}$  не точны, поскольку в пылеуловителях могут улавливаться частицы диаметром меньшим  $\delta_{\min}$ , если они при входе в циклон были близки к стенке. Приведенные на рис. 2 зависимости  $\delta_{\min} = f(\bar{r}_0)$  лишены этого недостатка. Однако, как показал дисперсный анализ пыли, осевшей на

тканевом фильтре, на выходе из циклона наблюдается проскок достаточно крупных частиц. Кроме того, дисперсный состав пыли, уловленной в промежуточном отборе, свидетельствует о присутствии в нем частиц размером  $\delta < \delta_{\min}$ . Поэтому зависимости  $\delta_{\min} = f(\bar{r}_0)$  могут служить для приближенной оценки эффективности сепарации циклона.

По известным траекториям движения частиц пыли и зависимостям  $\delta_{\min} = f(\bar{r}_0)$  можно рассчитать теоретическую эффективность пылеулавливания  $\eta_T$  следующим образом. Предположим равномерное распределение пыли по входному сечению циклона. По данным дисперсного состава пыли, поступающей на вход циклона, строим интегральную функцию  $D(\delta)$  распределения частиц по массе на двойной логарифмической шкале. Функция  $D(\delta)$  можно представить в виде формулы Розина-Рамлера-Беннета [18]:

$$D(\delta) = 1 - e^{-(\delta/\delta_e)^a}, \quad (14)$$

где  $\delta_e$  по своему физическому смыслу представляет собой такой диаметр, при котором масса частиц крупнее  $\delta_e$  составляет 36,8 %, а мельче – 63,2 %. Для рассматриваемой пыли  $\delta_e = 23$  мкм. Дважды логарифмируя формулу (14), получим:

$$\lg \left( \lg \frac{1}{1-D(\delta)} \right) = \lg \lg e + a(\lg \delta - \lg \delta_e).$$

$$\text{Тогда } a = \frac{\lg \lg \left( \frac{1}{1-D(\delta)} \right) - \lg(\lg e)}{\lg \delta - \lg \delta_e} = 2,6224.$$

$$\text{Следовательно: } D(\delta) = 1 - e^{-(\delta/23)^{2,62}}.$$

Рассчитанные зависимости  $\delta_{\min}^1(\bar{r}_0)$  и  $\delta_{\min}^2(\bar{r}_0)$  в пакете Statgraphics Plus аппроксимированы кубическим полиномом:

$$\delta_{\min}^1(\bar{r}_0) = 140 - 2178\bar{r}_0 + 12135\bar{r}_0^2 - 23250\bar{r}_0^3, \quad (15)$$

$$\delta_{\min}^2(\bar{r}_0) = 109 - 1702\bar{r}_0 + 9388\bar{r}_0^2 - 17741\bar{r}_0^3. \quad (16)$$

**Таблица 1.** Статистическая значимость регрессий. Скорректированный коэффициент детерминации 99,96 %

Уравнение	Критерий Дарбина-Уотсона	Стандартная ошибка, мм	Средняя абс. ошибка, мм
(15)	1,173	0,0307	0,0223
(16)	1,219	0,0193	0,0143

Эффективность улавливания промежуточным отбором  $\eta_T^1$  и циклона в целом  $\eta_T^2$  определяются по формулам:

$$\eta_T^1 = \frac{100p}{\pi(r_2^2 - r_1^2)} \int_{r_1}^{\bar{r}_2} 2\pi \bar{r}_0 [1 - D(\delta_{\min}^1(\bar{r}_0))] d\bar{r}_0 =$$

$$\frac{200p}{(r_2^2 - r_1^2)} \int_{r_1}^{\bar{r}_2} \bar{r}_0 e^{-(\delta_{\min}^1(\bar{r}_0)/23)^{2,62}} d\bar{r}_0, \%,$$

$$\eta_T^2 = \frac{200}{(r_2^2 - r_1^2)} \int_{r_1}^{\bar{r}_2} \bar{r}_0 e^{-(\delta_{\min}^2(\bar{r}_0)/23)^{2,62}} d\bar{r}_0, \%$$

где  $\delta_{\min}^1(\bar{r}_0)$  и  $\delta_{\min}^2(\bar{r}_0)$  рассчитываются по формулам (15) и (16) соответственно,  $p=0,66$  – вероятность попадания пыли в промежуточный отбор, равная отношению суммарной площади окон к площади боковой поверхности цилиндра с высотой, равной высоте окон.

Для численного интегрирования использовалась квадратурная формула Ньютона-Котеса шестого порядка, правило Уэддла [19]. Получены следующие значения эффективности сепарации:  $\eta_T^1=65,35$  % и  $\eta_T^2=99,01$  %, которые завышены по сравнению с экспериментальными.

Принятая модель течения недостаточно точна, т. е. не позволяет найти эффективность сепарации циклона в целом без учета таких факторов, как вторичный турбулентный унос отсепарированной пыли, рикошета и эффекта Магнуса. Приемлемое совпадение  $\eta_T^1$  с экспериментальными данными ( $\eta_T^1=60...62$  %) объясняется прежде всего введением вероятности попадания пылинок в окна промежуточного отбора. При отсосе пыли из второго бункера вместе с частью газа в количестве 5 % от расхода  $\eta_T^2$  повышается с 97,0 до 99,4 %, что уже незначительно отличается от  $\eta_T^2$ . Наблюдаемое повышение эффективности сепарации циклона при отсосе части газа объясняется уменьшением интенсивности турбулентности несущего потока.

**Таблица 2.** Оценка параметров фракционной эффективности

Показатель	Экспериментальные значения		Расчетные значения	
№ опыта	1	2	1	2
$\delta$ , мкм	20,0	11,0		
$\sigma$	1,38	1,50		
$\delta_e$ , мкм		23,0	14	
$a$			2,62	1,52
$\eta$ , %	89	79	99,01	87,55
$\chi$	1,227	0,807	2,34	1,152
$d_{50m}$	3,02		2,34	
$\lg \sigma_{m\eta}$	0,308		0,02	

Был проведен эксперимент с циклоном, схема которого приведена на рис. 3. В качестве пыли использован хлористый калий с плотностью  $\rho_s=2631$  кг/м<sup>3</sup> (насыпная 1950 кг/м<sup>3</sup>) и коэффициентом формы  $k_s=1,54$ . Параметры газового потока: скорость  $W=9$  м/с, вязкость  $m=1,89 \cdot 10^{-5}$  Па·с, плотность  $\rho_g=1,25$  кг/м<sup>3</sup>,  $D=0,12$  м. Так как в методике НИИОГАЗ отсутствуют данные по фракционной эффективности прамоточных циклонов, то оценим их для исследованного циклона по методу В.П. Самсонова [18], табл. 2.

На Новомальтинском заводе строительных материалов (Усольский район Иркутской обл.) в минераловатном производстве колошниковые газы, отходящие от ваграночных печей, очищались в рукавном фильтре, установленном на открытой площадке. Из-за оледенения и порывов рукавов при их регенерации в холодный период года фильтр имел малую эффективность очистки и низкую эксплуатационную надежность. Вместо фильтра было предложено использовать прамоточный циклон

Таблица 3. Расчет по методике НИИОГАЗ [20]

Параметры	По опытным данным	По модели
$D=D/D_m$	0,258/0,12=2,15	
$\bar{\rho}=\rho_{\text{ан}}/\rho_{\text{с}}$	1950/1008=1,935	
$\bar{\mu}=\mu/\mu_n$	$1,794 \cdot 10^{-3}/1,89 \cdot 10^{-3}=0,949$	
$W=W_m/W$	9/5=1,8	
$d_{50}=d_{50m} \sqrt{D \cdot \bar{\rho} \cdot \bar{\mu} \cdot W}$	$3,02 \sqrt{2,15 \cdot 1,935 \cdot 0,949 \cdot 1,8}=8,0507$	$2,34 \sqrt{2,15 \cdot 1,935 \cdot 0,949 \cdot 1,8}=6,2380$
$x=\lg(d_{50}/d_{50m}) \sqrt{\lg \sigma_{mq}^2 + \sigma_q^2}$	$\lg(85/8,05) \sqrt{0,308^2 + 2,17^2}=2,2435$	$\lg(85/6,23) \sqrt{0,02^2 + 2,17^2}=2,463$
$\Phi_p(x)$ , %	98,73	99,31
$\Phi_{\text{эсп}}(x)$ , %	87	
Ошибка, %	$(98,73-87)/0,87=13,48$	$(99,31-87)/0,87=13,9$

0,258 мм с промежуточным отбором пыли (рис. 3). Температура газа на входе в циклон составила 90...97 °С, на выходе – 70 °С. Медианный диаметр (по массе) исходной пыли ваграночных газов на входе в циклон составил 85 мкм, медианным диаметром (по массе) уносимой пыли – 2 мкм. Диаметр частиц, улавливаемых с эффективностью 50 % равен  $d_{50}=14$  мкм. Насыпная плотность пыли – 1008 кг/м³. Оптимальная среднерасходная скорость, обеспечившая наибольшую эффективность пылеулавливания  $\eta=86...87$  %, составила  $W=5...6$  м/с. Отсос газа из бункера в количестве 4...5 % от общего расхода позволил повысить эффективность очистки на 8...9 % [22].

По полученным параметрам фракционной эффективности  $d_{50m}$  и  $\lg \sigma_{mq}$  (табл. 2) оценена эффективность испытанного прямоточного циклона при очистке ваграночных газов согласно методике НИИОГАЗ (табл. 3).

Анализ полученных по методике НИИОГАЗ результатов показывает, что близость оценок эффективности по опытным и модельным данным свидетельствуют об адекватности модельных представлений. С другой стороны, обе оценки имеют приемлемую, но достаточно большую погрешность (более 13 %, при отсосе части газа из бункерного пространства ошибка снижается до 5,0...5,5 %). Это диктует актуальность следующих задач исследования:

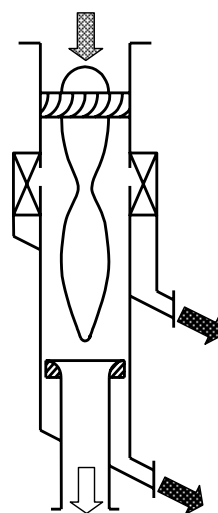


Рис. 3. Схема прямоточного циклона с промежуточным отбором пыли [21]

- увеличить объем анализируемых данных для обеспечения статистической значимости оценок фракционной эффективности прямоточных циклонов;
- проанализировать теоретическую достаточность методики НИИОГАЗ применительно к прямоточным пылеуловителям и разработать новую, более адекватную методику расчета эффективности прямоточных циклонов.

## СПИСОК ЛИТЕРАТУРЫ

1. Сийержич М., Менгер Ф. Измельчение расчетной сетки при моделировании закрученного двухфазного течения // Теплофизика и аэромеханика. – 2003. – Т. 10. – № 2. – С. 171–182.
2. Василевский М.В., Зыков Е.Г. Расчет эффективности очистки газа в инерционных аппаратах. – Томск: Изд-во ТПУ, 2005. – 86 с.
3. Шиялев М.И., Шиялев А.М. Моделирование процесса пылеулавливания в прямоточном циклоне. 1. Аэродинамика и коэффициент диффузии частиц в циклонной камере // Теплофизика и аэромеханика. – 2003. – Т. 10. – № 2. – С. 157–170.
4. Шиялев М.И., Шиялев А.М. Моделирование процесса пылеулавливания в прямоточном циклоне. 2. Расчет фракционного коэффициента проскока // Теплофизика и аэромеханика. – 2003. – Т. 10. – № 3. – С. 427–437.
5. Баранов Д.А., Кутепов А.М., Лагуткин М.Г. Расчет сепарационных процессов в гидроциклонах // Теоретические основы химической технологии. – 1996. – Т. 30. – № 2. – С. 117–122.
6. Касаткин А.Г. Основные процессы и аппараты химических технологий. – М.: Химия, 1971. – 784 с.
7. Ахметов Т.Г., Порфильева Р.Т., Гайсин Л.Г. Химическая технология неорганических веществ. – Кн. 1. – М.: Высшая школа, 2002. – 688 с.
8. Барахтенко Г.М., Идельчик И.Е. Влияние формы закручивающего устройства на гидравлическое сопротивление прямоточного циклона // Промышленная и санитарная очистка газов. – 1974. – № 6. – С. 4–7.
9. Страус В. Промышленная очистка газов. – М.: Химия, 1981. – 616 с.
10. Дейч М.Е., Филиппов Г.А. Гидродинамика двухфазных сред. – М.: Энергоиздат, 1981. – 472 с.

11. Литвинов А.Т. Эффективная очистка газов в аппаратах, использующих для выделения частиц пыли из потока центробежную силу // Журнал прикладной химии. – 1971. – Т. 44. – № 6. – С. 1221–1231.
12. Степанов Г.Ю., Зицер И.М. Инерционные воздухоочистители. – М.: Машиностроение, 1986. – 184 с.
13. Лагуткин М.Г., Баранов Д.А. Оценка действия силы Кориолиса в аппаратах с закрученным потоком // Теоретические основы химической технологии. – 2004. – Т. 38. – № 1. – С. 9–13.
14. Старченко А.В., Бубенчиков А.М., Бурлуцкий Е.С. Математическая модель неизоотермического турбулентного течения газозвеси в трубе // Теплофизика и аэромеханика. – 1999. – Т. 6. – № 1. – С. 59–70.
15. Иванков Н.А. Влияние геометрических и режимных параметров пылеуловителей со встречными закрученными потоками на их эффективность: Автореф. дис. ... канд. техн. наук. – М., 1982. – 16 с.
16. Калмыков А.В. Разработка, исследование и методика расчета совершенных конструкций прямоточных пылеуловителей // Теплоэнергетика. – 1970. – № 4. – С. 60–63.
17. Медников Е.П. Вихревые пылеуловители // Обзорная информация. Сер. ХМ-14. Промышленная и санитарная очистка газов. – М.: ЦИНТИХИМНЕФТЕМАШ, 1975. – 44 с.
18. Коузов П.А., Скрыбина Л.Я. Методы определения физико-химических свойств промышленных пылей. – Л.: Химия, 1983. – 143 с.
19. Корн Г., Корн Т. Справочник по математике (для научных работников и инженеров). – М.: Наука, 1978. – 831 с.
20. Справочник по пыле- и золоулавливанию / Под ред. А.А. Русанова. – М.: Энергоатомиздат, 1983. – 312 с.
21. А.с. 386309 СССР. Прямоточный циклон / А.Н. Шерстюк, В.С. Асламова и др. – Опубл. в Б.И. – 1988. – № 13.
22. Асламова В.С., Асламов А.А., Ляпустин П.К. Высокоэффективный прямоточный циклон // Фундаментальная наука в интересах развития критических технологий: Матер. конф. РФФИ. – Владимир, 2005. – СД-4-5. – С. 293–295.

*Поступила 12.09.2006 г.*